

$$\rho \left(-\xi \frac{\partial h}{\partial \xi} - \frac{1}{2} \eta \frac{\partial h}{\partial \eta} + \Phi \frac{\partial h}{\partial \xi} + V \frac{\partial h}{\partial \eta} \right) = -\xi \frac{\partial p}{\partial \xi} - \frac{1}{2} \eta \frac{\partial p}{\partial \eta} +$$

$$+ \Phi \frac{\partial p}{\partial \xi} + V \frac{\partial p}{\partial \eta} + \frac{\partial}{\partial \eta} \left(\lambda \frac{\partial T}{\partial \eta} \right) + \mu \left(\frac{\partial \Phi}{\partial \eta} \right)^2 + \frac{v_H}{4\pi} \left(\frac{\partial H_x}{\partial \eta} \right)^2$$

или

$$\rho c_p \left(-\xi \frac{\partial T}{\partial \xi} - \frac{1}{2} \eta \frac{\partial T}{\partial \eta} + \Phi \frac{\partial T}{\partial \xi} + V \frac{\partial T}{\partial \eta} \right) = -\xi \frac{\partial p}{\partial \xi} -$$

$$- \frac{1}{2} \eta \frac{\partial p}{\partial \eta} + \Phi \frac{\partial p}{\partial \xi} + V \frac{\partial p}{\partial \eta} + \frac{\partial}{\partial \eta} \left(\lambda \frac{\partial T}{\partial \eta} \right) + \mu \left(\frac{\partial \Phi}{\partial \eta} \right)^2 + \frac{v_H}{4\pi} \left(\frac{\partial H_x}{\partial \eta} \right)^2.$$

Для решения задачи используется неявная разностная схема. При расчете выделено два блока. В первом блоке одновременно решаются по методу матричной прогонки уравнения движения и энергии до полного завершения итерационного процесса. Во втором блоке отыскиваются профили напряженности магнитного поля. Процесс решения на слое ξ считается законченным после того, как все профили оказываются сосчитанными с заданной точностью. Точность приходится задавать высокую, поскольку иначе с ростом ξ происходит существенное накопление ошибок. Распределение напряженности магнитного поля H_x дано на фиг. 4. (1 — $\xi = 0,0125$; 2 — $\xi = 4,137$, $U_e = 0,2 \cdot 10^5$ см/с); u , λ , v_H рассматриваются как степенные функции плотности и температуры.

Указанный алгоритм выбран в связи с возможностями машинной памяти М-222. Похоже, что использование матричной прогонки для одновременного счета всех искомых величин привело бы к более быстрому решению задачи. Следует заметить, что если в расчетах нестационарного пограничного слоя для несжимаемой жидкости точность роста вертикальной составляющей скорости неважна и результаты меняются лишь на несколько процентов при полном ее отсутствии, для сжимаемой жидкости требуется аккуратный учет этой составляющей.

Поступила 24 XII 1975

ЛИТЕРАТУРА

1. Прозорова Э. В. Об автомодельности движений нестационарного пограничного слоя.— ПМТФ, 1975, № 4, с. 122—125.
2. Лойцянский Л. Г. Ламинарный пограничный слой. М., Физматгиз, 1962, с. 357—360.
3. Бай-Ши-И. Магнитная газодинамика и динамика плазмы. М., «Мир», 1964, с. 54.

УДК 534.533.6.011

О ВНУТРЕННИХ РЕЗОНАНСАХ В ГИДРОДИНАМИКЕ

Ю. Б. Пономаренко

(Москва)

1. В теории колебаний систем, близких к линейным [1], внутренним резонансом называют пропорциональность нескольких собственных частот натуральным числам. В данной работе рассмотрены внутренние резонансы в гидродинамике.

В случае внутреннего резонанса вынужденные колебания малой амплитуды, вызываемые гармоническим возмущением, могут существенно отличаться от гармонических. Примером являются разрывные колебания газа (ударные волны), наблюдаемые в закрытой трубе при гармоническом движении поршня [2, 3].

Автоколебания малой амплитуды также могут быть существенно не-гармоническими, например автоколебания в газовом разряде при низком давлении [4].

Основные черты резонансов выявляются при рассмотрении граничной задачи для вещественного вектора X

$$(1.1) \quad \frac{\partial X}{\partial t} + L_1 X + L_2 X^2 + \dots = \sum_{k=1}^n \varepsilon_k C_k e^{i\omega_k t} + \text{к. с., } UX = 0$$

(к. с.— выражение, комплексно-сопряженное предшествующему). Здесь вещественные коэффициенты L и матрица U в граничном условии могут зависеть от координат x и являются полиномами относительно $D = \partial/\partial x$. Область изменения x предполагается ограниченной. Каждое возмущение с частотой $\omega_k > 0$ и формой $C_k(x)$ пропорционально малой амплитуде ε_k . Частоты ω_k и их разности считаются немалыми (эффекты типа медленного изменения параметров здесь не рассматриваются). Предполагается, что задача

$$(1.2) \quad pX + L_1 X = 0, \quad UX = 0$$

имеет несколько простых собственных чисел $p = \gamma + i\Omega$ с малыми инкрементами γ и положительными частотами Ω . Пусть это будут числа $p_m (m = 1, 2, \dots, M)$, соответствующие собственные функции X_m , собственные функции сопряженной задачи Z_m ; инкременты других собственных значений отрицательны и немалы.

Так как числа p_m почти мнимые, то они приближенно пропорциональны некоторым натуральным числам. Условия, при которых такая пропорциональность существенна, рассмотрены ниже.

Очевидно, всегда можно выбрать целые числа a_{mk}, b_m так, что

$$\Omega_m \approx (a_{m1}\omega_1 + \dots + a_{mn}\omega_n)/b_m \equiv v_m.$$

Резонансным колебаниям, характеризуемым этими числами, соответствует решение

$$(1.3) \quad X = \left(\sum_{m=1}^M X_m Q_m \exp iv_m t + \sum_{k=1}^n Y_k \varepsilon_k \exp i\omega_k t \right) + \text{к. с.} + \dots$$

в виде степенного ряда по величинам $Q_m \exp iv_m t$, $\varepsilon_k \exp i\omega_k t$ и комплексно-сопряженным с коэффициентами, зависящими только от x . Уравнение для амплитуды $Q_m(t)$ также ищется в виде ряда по величинам Q_r , ε_k и сопряженным. Это уравнение имеет вид

$$(1.4) \quad dQ_m/dt = Q_m (\delta_m + \dots) + \sum \varepsilon_a^a \varepsilon_b^b Q_s^c \bar{Q}_r^d \dots (p_{m\alpha\dots} + \dots) \\ (\delta_m = p_m - iv_m, m = 1, \dots, M),$$

где в скобках стоят ряды по степеням $|Q_r|^2, |\varepsilon_k|^2$; сумма берется по всем натуральным числам a, b, c, \dots удовлетворяющим нетождественным равенствам

$$v_m = a\omega_\alpha + \dots - b\omega_\beta - \dots + cv_s + \dots - dv_r - \dots$$

Тождеству $v_m = v_m$ соответствует ряд, стоящий перед суммой; члены этого ряда описывают перезонансные эффекты, существующие при любых v_m .

Как и в случае автономных систем [5] при $M = 1$, коэффициенты в (1.3) определяются последовательно из линейных неоднородных граничных задач, получающихся после подстановки (1.3), (1.4) в (1.1). Коэффициенты в (1.4) определяются из условия ограниченности при $\delta_m \rightarrow 0$ соответствующих коэффициентов в (1.3). Это условие имеет вид

$$(1.5) \quad \langle \Psi \cdot Z_m \rangle \equiv \int (\Psi \cdot \bar{Z}_m) dx = 0,$$

где Ψ — свободный член неоднородной задачи, линейно зависящий от искомого коэффициента в (1.4); интегрирование ведется по области изменения x .

Для нахождения коэффициента $p_{m\alpha} \dots$ уравнения (1.4) необходимо учитывать в (1.1) все члены ряда со степенями $\leq N = a + b + c + \dots$; для нахождения наибольших нерезонансных членов в (1.4) достаточно удержать в (1.1) квадратичные и кубитные члены. Отсюда видно, что резонансные эффекты существенны, если порядок резонанса $N \leq 3$. Нерезонансные эффекты преобладают *, если порядок резонансов $N > 3$.

В простых примерах можно оценить стационарные решения (1.4) и тем самым выяснить влияние резонансов на амплитуду (но не на устойчивость) колебаний. Пусть, например, в (1.1), (1.2) числа $n = 1$, $M = 2$, причем $p_2 = i\Omega_2 = 9p_1$, $\Omega_1 = \omega$; тогда в колебаниях с частотой ω резонанс девятого порядка несуществен, так как $Q_2 \sim Q_1^7 \ll Q_1 \sim \varepsilon^{4/3}$. Если, в отличие от предыдущего случая, имеется третье число $p_3 = 3p_1 = p_2/3$, то все три амплитуды $\sim \varepsilon^{1/3}$.

Выше для определенности рассматривалась задача (1.1) с линейным однородным граничным условием. Задачи с другими условиями часто оказывается возможным привести к виду (1.1) введением новых неизвестных (например, в случае линейного неоднородного условия принимается $X = \dot{X}^0 + A$, где A — какая-либо функция, удовлетворяющая однородному условию). В таком приведении, однако, нет необходимости. Для каждого типа резонанса ряды (1.3), (1.4) не меняют своей структуры, если уравнения и граничные условия для X представляются в виде степенных рядов по составляющим X , их производным по t , x и возмущениям $\varepsilon_k \exp(i\omega_k t)$. Для коэффициентов в (1.3) будут получаться линейные задачи с неоднородными условиями; однородности условий можно добиться (если нужно) отмеченным выше приемом.

Задачи с неаналитическими нелинейностями (например, вида $X_n|X_m|$) требуют специального рассмотрения.

Для выявления основных закономерностей резонанса достаточно удержать в (1.4) только наибольшие члены. В этом основном приближении расстройки δ_m (по определению резонанса малые) учитываются только членами $Q_m \delta_m$; в коэффициентах остальных членов принимается $p_m = i\Omega_m = iv_m (m = 1, \dots, M)$, чтобы не превысить точность приближения. В приведенных ниже примерах резонансы рассмотрены в основном приближении.

2. В качестве примера рассмотрим задачу нахождения $X = (\xi, w)$ из уравнений

$$(2.1) \quad \begin{aligned} \xi' + w' &= 0, \quad w' + \xi' + \Phi' = 0 \quad (0 \leq x \leq 1), \\ \Phi &= w^2/\rho + (\rho^\beta - 1)/\beta - \xi = w^2 + 1/2(\beta - 1)\xi^2 + \dots \end{aligned}$$

и граничных условий

$$(2.2) \quad (w)_0 = \xi l', \quad (w)_1 = 0.$$

* Возможны исключительные случаи (например, когда в (1.4) некоторые коэффициенты равны нулю).

Здесь точка означает дифференцирование по t , штрих — по x . Записанная в безразмерном виде (таком, что при $\varepsilon=0$ длина трубы, плотность $\rho = 1 + \xi$, давление ρ^β и скорость звука равны единице) задача (2.1), (2.2) описывает колебания газа в закрытой трубе, возбуждаемые движущимся поршнем *. Форма смещения поршня

$$(2.3) \quad l(\omega t) = \sum l_m \exp(im\omega t) \quad (l_{-m} = \bar{l}_m, \quad l_0 = 0)$$

может быть (в отличие от [6, 7]) негармонической. Собственные частоты линейной однородной задачи (2.1), (2.2) равны πm , где m — целое число; поэтому имеется бесконечное число внутренних резонансов второго порядка.

Разложения (1.3), (1.4) для задачи (2.1), (2.2) находятся в виде

$$(2.4) \quad X = A_1 + A_2 + A_3 + \dots, \quad A_1 = \sum Q_m X_m e^{im\omega t},$$

$$X_m = (\cos \pi m x, -i \sin \pi m x), \quad Q_{-m} = \bar{Q}_m,$$

$$dQ_m/dt = im(\pi - \omega)Q_m + a_m + \dots$$

Здесь сумма берется по всем целым m ; собственная функция X_m соответствует собственной частоте πm . Удобно определять ряды (2.4), считая $Q_m \sim \varepsilon^{1/2}$, $\omega - \pi \sim \varepsilon^{1/2}$, $A_m \sim \varepsilon^{m/2}$; коэффициенты $a_m \sim \varepsilon$ определяются из условия ограниченности A_2 .

Вектор A_2 определяется из условий (2.2) и уравнения

$$(2.5) \quad A_2 + BA_2' + \Phi_2'E + \sum a_m X_m \exp im\omega t = 0,$$

$$B = \begin{pmatrix} 0 & 1 \\ 1 & 0 \end{pmatrix}, \quad E = \begin{pmatrix} 0 \\ 1 \end{pmatrix}, \quad \Phi_2 = w_1^2 + (1/2)(\beta - 1)\xi_1^2,$$

где ξ_1 , w_1 — составляющие A_1 .

Полагая в (2.2), (2.5)

$$(2.6) \quad A_2 = \sum (Y_m + \varepsilon l_m T_m) e^{im\omega t},$$

$$\Phi_2 = \sum F_m e^{im\omega t}, \quad T_m = [1, im\omega(1-x)],$$

получим для Y_m однородные условия (2.2) и уравнение **

$$(2.7) \quad im\omega Y_m + BY_m' + \Psi = 0, \quad \Psi = a_m X_m + E [F_m' - m^2 \omega^2 l_m \varepsilon (1-x)].$$

При $\omega \rightarrow \pi$ величина Y_m конечна, если выполнено условие (1.5). В используемом основном приближении (см. п. 1) достаточно найти a_m при $\omega = \pi$. Из (1.5), (2.5) — (2.7) с учетом равенства $Z_m = X_m$ получается

* Замена точного условия на поршне ($w = \rho \varepsilon l$ при $x = \varepsilon l$) приближенным (2.2) не уменьшает точности основного приближения (см. п. 1).

** Так как величина Y_m не зависит явно от t и квадратична по $Q_n(t)$, то $Y_m' \sim A_3$ и поэтому не входит в (2.7).

$$(2.8) \quad a_m = -i \int_0^1 [F'_m - m^2 \pi^2 l_m \epsilon (1-x)] \sin m \pi x dx = i \pi m \times \\ \times \left[\epsilon l_m + (1/8)(1+\beta) \sum_n Q_n Q_{m-n} \right].$$

При $m = 0$ из (2.4), (2.8) следует $Q_0 = 0$ (в соответствии с сохранением полной массы газа в трубе). Для других стационарных амплитуд после введения обозначений

$$\mu^2 = 8\epsilon/(1+\beta), f_0 = 4(1-\omega/\pi)/\mu(1+\beta), f_m = Q_m/\mu \quad (m \neq 0)$$

получаются уравнения

$$(2.9) \quad l_m + \sum_n f_n f_{n-m} = L \delta_{0m} \quad (m = 0, \pm 1, \dots),$$

в которых L — положительный параметр. Зависимость амплитуд f_m от относительной расстройки частоты f_0 удобно находить в параметрическом виде, определяя из (2.9) амплитуды и расстройку как функции L .

Уравнения (2.9) эквивалентны уравнению

$$(2.10) \quad f^2 = L - l(\theta)$$

для вещественной периодической функции

$$(2.11) \quad f(\theta) = \sum f_m e^{im\theta}.$$

Форма смещения поршня $l(\theta)$ определена в (2.3). Расстройка f_0 , параметр L и решение X выражаются через f в виде

$$(2.12) \quad f_0 = -\frac{1}{2\pi} \int_0^{2\pi} f d\theta, \quad L = \frac{1}{2\pi} \int_0^{2\pi} f^2 d\theta;$$

$$(2.13) \quad X \approx A_1 = (1/2)\mu(f_+ + f_- - 2f_0, f_- - f_+), \quad f_{\pm} = f(\omega t \pm \pi x).$$

Результаты [6, 7] распространяются на случай негармонической непрерывной формы l следующим образом. Пусть $l(\theta) \leq 1$; тогда непрерывное решение (2.10)

$$(2.14) \quad f = (f_0/|f_0|)|L - l|^{1/2} \quad (L \geq 1, |f_0| \geq f_* = f_0(1))$$

единственno и соответствует расстройке $f_0(L)$, определяемой из (2.12).

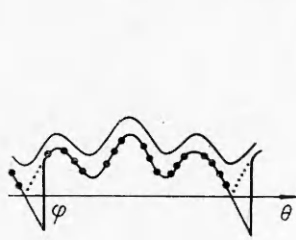
При $|f_0| < f_*$ возможны только разрывные решения (2.10). Представляют интерес лишь решения, описывающие ударные волны сжатия [2] (после прохождения волны сжатия плотность в заданной точке возрастает). В таких допустимых решениях, согласно (2.13), функция $f(\theta)$ с ростом θ может скачкообразно увеличиваться, но не может скачкообразно уменьшаться *.

Если в интервале $0 \leq \theta < 2\pi$ значение $l = 1$ принимается в единственной точке $\theta = \theta_0$, то допустимое решение

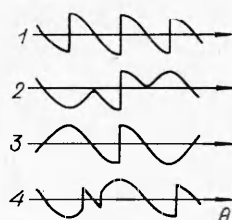
$$(2.15) \quad f = |1 - l|^{1/2} \begin{cases} -1 & \theta_0 \leq \theta < \varphi \\ 1 & \varphi \leq \theta \leq \theta_0 + 2\pi \end{cases} \\ (0 \leq \varphi \leq 2\pi, |f_0| \leq f_*)$$

единственno и соответствует расстройке $f_0(\varphi)$, определяемой из (2.12).

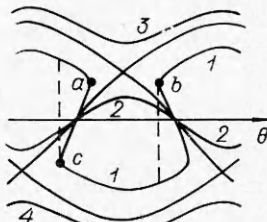
* Остальные соотношения на разрыве [2] сводятся в приближении (2.13) к акустическим и выполняются автоматически.



Фиг. 1



Фиг. 2



Фиг. 3

Произвольной расстройке соответствует одно из решений (2.14), (2.15). На фиг. 1 показан вид этих решений вблизи $f_0 \approx f_*$ для

$$(2.16) \quad l(\theta) = \alpha \cos \theta + (1 - \alpha) \cos 3\theta \quad (0 < \alpha \ll 1, l \leq l(0) = 1).$$

Точками показана кривая $f(\theta, f_*)$.

Кроме (2.14), (2.15), при любой расстройке существует бесконечное множество разрывных решений (2.10); все они содержат по крайней мере один скачок разрежения и, следовательно, не являются допустимыми.

Если значение $l = 1$ достигается на интервале $[0, 2\pi]$ в нескольких точках, то при $|f_0| < f_*$ существует бесконечное множество допустимых решений, отличающихся числом, величиной и взаимным расположением скачков. На фиг. 2 показаны некоторые решения 1—4 для $\alpha = 0$ в (2.16) и $f_0 = 0$.

В экспериментах [3, 6, 7] наблюдались лишь симметричные колебания типа 1. Возможная причина — неустойчивость других типов колебаний. Другая возможность — зависимость типа колебаний от начальных условий и (или) от способа изменения параметров. Пусть, например, в начальный момент заданы форма (2.16) и расстройка $f_0 > f_*$, так что существуют непрерывные колебания (см. фиг. 1). Тогда колебания типа 2 получаются, если медленно уменьшить до нуля сначала f_0 , затем α . Если $f_0 \rightarrow 0$ при $\alpha = 0$, то, как показывают наблюдения [3, 6, 7], из всех допустимых возникают колебания типа 1.

Следует отметить, что ударные волны нагревают газ; это приводит к наблюдаемому [3] повышению резонансной частоты (при которой $f_0 = 0$). Так как выделение тепла в каждом скачке пропорционально кубу величины скачка [2], то нагрев и повышение частоты пропорциональны μ^3 . Коэффициент пропорциональности зависит от условий теплоотвода и от типа колебаний; при $f_0 \approx f_*$ колебания типа 1 приводят к наименьшему нагреву.

3. Рассмотрим задачу (2.1), (2.2), в которой второе граничное условие заменено приближенным условием для открытой трубы $(\xi)_1 = 0$. Для простоты примем $\beta = 1$.

В данном случае имеется бесконечное число внутренних резонансов третьего порядка. Решение представляется выражениями (2.4), в которых π заменено на $(1/2)\pi$, а m — пячетные числа. Будут рассмотрены колебания, в которых $Q_m \sim \varepsilon^{1/3}$, $A_m \sim \varepsilon^{m/3}$, $\omega \sim (1/2)\pi \sim \varepsilon^{2/3}$. Коэффициенты $a_m \sim \varepsilon$ определяются из задачи для A_3 . Предварительно необходимо найти $A_2 = (\xi_2, w_2)$ из однородных условий и уравнения (2.5), в котором сумма опущена; при $\omega = (1/2)\pi$

$$(3.1) \quad w_2 = \frac{i}{8} \sum_{n,s} Q_s Q_n e^{ia\omega t} \left[\left(\frac{b^2}{ns} - 2 \right) \sin a\eta + \frac{ab}{ns} \sin b\eta + 2a\eta \cos a\eta \right] \\ (\eta = 1/2 \cdot \pi x, a = n + s, b = n - s).$$

Полагая

$$(3.2) \quad A_3 = \sum (Y_m + im\omega \varepsilon l_m E) e^{im\omega t}, \quad 2w_1 w_2 - w_1^2 \xi_1 = \sum F_m e^{im\omega t},$$

получим для Y_m при нечетном m однородные условия и уравнение (2.7), в котором множитель $(1 - x)$ опущен. Из (1.5), (2.7), (2.1), (3.1), (3.2) получается при $\omega = \pi/2$, $Z_m = X_m$

$$(3.3) \quad a_m = \frac{1}{2} i \pi m \left[\varepsilon l_m - \frac{5}{16} \left(Q_m \sum |Q_n|^2 + \frac{1}{3} \sum_{s,n} Q_s Q_n Q_{m-n-s} \right) \right].$$

После введения обозначений

$$(3.4) \quad \mu^3 = -(24/5)\varepsilon, \quad f_m = Q_m/\mu, \quad r = (16/5)(2\omega/\pi - 1)/\mu^2$$

для стационарных амплитуд из (2.4), (3.3) следует

$$(3.5) \quad \sum f_s f_n f_{m-n-s} + 3f_m (\sum |f_n|^2 + r) + 2l_m = 0.$$

Для функции f в (2.11) из (3.5) вытекает

$$(3.6) \quad f^3 + 3pf + 2q(\theta) = 0,$$

где q получается из (2.3) отбрасыванием четных гармоник, а

$$(3.7) \quad p = \frac{1}{2\pi} \int_0^{2\pi} f^2 d\theta + r.$$

Так как f содержит лишь нечетные гармоники, то искомые решения (3.6) должны удовлетворять условию $f(\theta + \pi) = -f(\theta)$. Для X справедливо (2.13), где $f_0 = 0$.

В дальнейшем принято $q = l = \cos \theta$. На фиг. 3 показаны корни уравнения (3.6) для $0 > p > -1$ (кривая 1), $p < -1$ (кривые 2—4) и $p = -1$. При $p \geq 0$ кривая 1 однозначна и представляет решение f . При $p < -1$ решение f представляется кривой 2. При $-1 < p < 0$ все однозначные решения $f(\theta)$ разрывны и содержат скачки разрежения (см. п. 2); скачки в одном из возможных решений показаны на фиг. 3 штрихом.

Отсутствие решений, содержащих только скачки сжатия, указывает на то, что в данной задаче при уменьшении вязкости и теплопроводности ширина фронта в скачке остается конечной и определяется некоторым физическим эффектом, не вызывающим нагрев газа. Таким эффектом является излучение из открытого конца трубы.

Для учета излучения необходимо в уравнении (2.4) для Q_m заменить $(1/2)\pi m$ на собственную частоту, измененную излучением. Изменение сводится [8] к умножению $(1/2)\pi m$ на

$$(3.8) \quad 1 - c_1 R + i c_2 R^2.$$

Здесь $c_{1,2} \sim 1$ — положительные постоянные (например, $c_1 \approx 8/(3\pi)$, $c_2 \approx \pi/4$ для трубы с фланцем [8]); предполагается, что радиус трубы $R \ll 1$.

Учет поправки (3.8) приводит к замене (3.4), (3.6) на

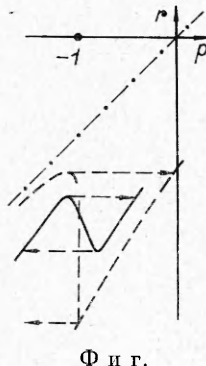
$$(3.9) \quad r = (16/5\mu^2)(2\omega/\pi - 1 + c_1 R), \quad f^3 + 3pf + 2q = \chi df/d\theta \\ (\chi = 48R^2c_2/5\mu^2).$$

Эффекты излучения малы по сравнению с нелинейными при $\chi \ll 1$, что считается выполненным.

Рассмотрение поля направлений уравнения (3.9) показывает, что при $s = p + 1 \gg \chi$ периодическая кривая f близка к разрывной кривой на фиг. 3 (ширина «разрыва» $\sim \chi$). Интегральная кривая, выходящая из s и пересекающая прямую ab в точке θ , имеет наклон $f' = 2(\cos \theta - \cos \theta_a)/\chi \sim 1$; отсюда следует $\theta - \theta_a \sim \chi \ll \theta_a$. Пересечение при $\theta = 0$ и касание в точке b происходит при значениях $s \sim \chi$, когда разрывная периодическая кривая деформируется в кривую 2.

Расстройка $r(p)$ определяется из (3.7). На фиг. 4 качественно показана зависимость $r(p)$ при $\chi > 0$, при $\chi = +0$ и асимптота $r = p$ (сплошная, штриховая и штрихпунктирная линии соответственно). Расстояние между экстремумами кривых $\sim \chi$. Значения p , где $dr/dp < 0$, не реализуются; направления скачков $r(p)$ показаны стрелками. Кроме амплитуды, при скачках параметра p существенно меняется форма колебаний.

Проведенное рассмотрение единственным образом распространяется на случай негармонической формы $q(\theta)$. В частности, если q меняет знак в точке θ_0 , то число разрывов $f(\theta, p, \chi = +0)$ в интервале $[\theta_0, \pi + \theta_0]$ равно числу содержащихся в $[\theta_0, \pi + \theta_0]$ интервалов, в которых $q^2 + p^3$ меняет знак, а q не меняет (например, для (2.16) это число равно нулю, единице или трем).



Поступила 24 II 1976

ЛИТЕРАТУРА

- Боголюбов Н. Н., Митропольский Ю. А. Асимптотические методы в теории нелинейных колебаний. М., Физматгиз, 1963.
- Зельдович Я. Б. Теория ударных волн и введение в газодинамику. М., Изд-во АН СССР, 1946.
- Cruikshank D. B. Experimental investigation of finite-amplitude acoustic oscillations in a closed tube.— «J. Acoust. Soc. Amer.», 1972, vol. 52, N 3, p. 1025.
- Зайцев А. А., Швилкин Б. Н. Характер подвижных страт вблизи границы их исчезновения при уменьшении давления.— «Радиотехника и электроника», 1967, т. 12, вып. 4, с. 736.
- Пономаренко Ю. Б. О «жестком» возникновении стационарных движений в гидродинамике.— ПММ, 1965, т. 29, вып. 2, с. 309.
- Betchov R. Nonlinear oscillations of a column of gas.— «Phys. Fluids», 1958, vol. 1, N 3, p. 205.
- Chester W. Resonant oscillations in closed tubes.— «J. Fluid Mech.», 1964, vol. 18, N 1, p. 44.
- Морз Ф. Колебания и звук. М., ГИТТЛ, 1949.